

การวิเคราะห์ความต้านทานและรูปแบบคลื่นของเรือแบบตัวเรือคู่ ด้วยวิธีคำนวณทางพลศาสตร์ของไอล

The Analysis of Resistance and Wave of Catamaran Using Computational Fluid Dynamics

กิตติกุล ภูมิโคกรักษ์¹, สัชยา จันทรประภา¹ และ อโณทัย สุขแสรงพนมรุ้ง^{2,*}

¹ กองออคแบบต่อเรือ กรมแผนการช่าง กรมอุตสาหกรรมเรือ แขวงศิริราช เขตนาคนิยม กรุงเทพฯ 10700

² กองวิชาชีวกรรมเครื่องกล สำนักการศึกษา โรงเรียนนายร้อยพระจุลจอมเกล้า อ.เมือง จ.นครนายก 26001

บทคัดย่อ

งานวิจัยนี้เป็นการประยุกต์ใช้วิธีการคำนวณทางพลศาสตร์ของไอล (Computational Fluid Dynamics) วิธี Finite Volume Method จำลองการไอลผ่านเรือแบบตัวเรือคู่ (Catamaran) เพื่อวิเคราะห์ความต้านทานและรูปแบบคลื่นที่เกิดจากเรือในช่วงการใช้งานสำหรับเรือโดยสารในแม่น้ำ ผลการวิจัยพบว่าเมื่อเลขฟroude เซียงความยาวแนวน้ำ (F_n) มีค่า $0.5 - 0.7$ ลักษณะที่สัมประสิทธิ์ความต้านทานความหนืด (C_V) มีค่าลดลงและสัมประสิทธิ์ความต้านทานเชิงคลื่น (C_W) มีค่าลดลง ขณะที่สัมประสิทธิ์ความต้านทานความหนืด (C_V) มีค่าคงที่ เมื่อเลขฟroude เซียงความลึกของน้ำ (F_{n_h}) เท่ากับ $0.6 - 0.7$ พบว่าคลื่นมีความสูงเพิ่มขึ้นและเดินทางได้ไกลขึ้นเมื่อความลึกของน้ำที่ลดลง งานวิจัยนี้สามารถใช้เป็นแนวทางในการออกแบบเรือแบบตัวเรือคู่ บึงที่น้ำเพื่อให้ได้เรือที่ประหยัดพลังงานและลดผลกระทบด้านลักษณะคลื่นอันเกิดจากคลื่นที่เกิดจากเรือ อย่างไรก็ตามในอนาคตควรจะได้มีการศึกษาการแบ่งคริติที่เหมาะสมลดต้นแบบจำลองทางคณิตศาสตร์ที่สูงขึ้นเพื่อให้ได้ผลใกล้เคียงกับความเป็นจริงมากที่สุดต่อไป

คำหลัก: วิธีคำนวณทางพลศาสตร์ของไอล, เรือแบบตัวเรือคู่, ความต้านทานเรือ, รูปแบบคลื่น, เรือโดยสาร

Abstract

This study was performed to analyse the total resistance and wave profile of a catamaran using Computational Fluid Dynamics - the Finite Volume Method. The work was conducted within the operating conditions of the waterbus service in the Chao Phraya River, Bangkok. The total resistance was analysed at different operating speeds with the corresponding waterline Froude number (F_n) equal to $0.5 - 0.7$. Within the study range, the calculated total resistance coefficient (C_T) and wave-making resistance coefficient (C_W) were found to decrease as the F_n decreased. While the viscous resistance coefficient (C_V) was almost unchanged. The waves generated when the catamaran sailed through calm water were then analysed at the depth Froude number (F_{n_h}) between $0.6 - 0.7$ corresponding to the maximum and minimum route depths. It was found that the calculated wave profiles increased as the depth decreased. The waves generated in shallow water also travelled in longer distance than those generated in deeper water. The study has shown that the method developed here could be practically applied in the preliminary design of actual catamarans where energy-saving and environment friendliness are the key design. However, a further study with finer meshing and more advanced mathematical models should be conducted in order to achieve more accurate results.

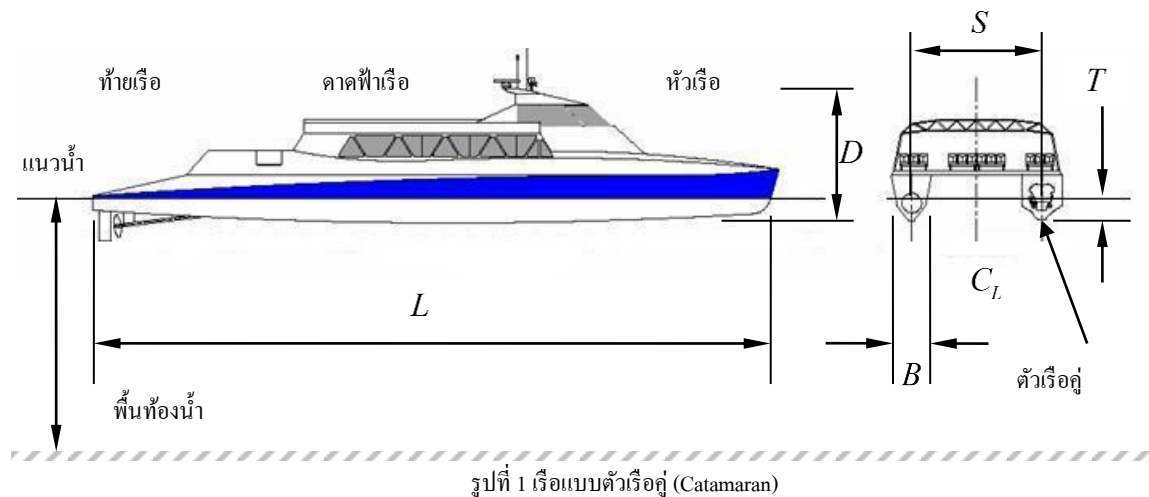
Keywords: Computational Fluid Dynamics, catamaran, total resistance, wave profile, waterbus

1. บทนำ

เรือแบบตัวเรือคู่ (Catamaran) เป็นเรือประเภทที่มีตัวเรือ 2 ลำ เชื่อมต่อกันด้วยโครงสร้างคาดฟ้าเรือดังรูปที่ 1 เมื่อเปรียบเทียบกับเรือแบบตัวเรือเดียว (Monohull) ที่ร่วงขับน้ำท่ากันแล้ว เรือแบบตัวเรือคู่สามารถลดรูปทรงตัวเรือ (Hull form) ให้มีความเพรียได้

มากกว่า ส่งผลให้ความต้านทานของเรือลดลงโดยไม่ทำให้การทรงตัวของเรือเสียไป เรือประเภทนี้มีความหมายสำคัญในการนำมาใช้เป็นเรือโดยสารลดคลื่นและประหยัดพลังงาน โดยเฉพาะเรือโดยสารในแม่น้ำ เช่น แม่น้ำเจ้าพระยา ซึ่งปัจจุบันประสบปัญหาการพังทลายของพื้นที่ริมฝั่งแม่น้ำเนื่องจากคลื่นที่เกิดจากเรือ [1]

*ผู้ติดต่อ: E-mail: asuksang1@yahoo.com โทรศัพท์, โทรสาร: 037 393 487



รูปที่ 1 เรือแบบดัวเรือคู่ (Catamaran)

การศึกษาองค์ประกอบความด้านทานของเรือแบบดัวเรือคู่ โดยการทดลองลากรีอจำลองในถังลากรีอ (Towing tank test) ซึ่งเป็นวิธีที่ให้ค่าไกลส์เคิงความเป็นจริงมากที่สุด ได้มีการวิจัยข่าย่างแพร์ helyay เช่น Insel และ Molland [2] พบว่าความด้านทานความหนืด (Viscous resistance) มีค่าขึ้นอยู่กับความเพรียบของเรือเดต์ไม่ขึ้นกับความเร็วและระยะห่างระหว่างดัวเรือคู่ ขณะที่ Couper และคณะ [3] แสดงให้เห็นว่า สำหรับเรือแบบดัวเรือคู่ประเกทความเร็วสูงที่มีดัวเรือเพรีย ความด้านทานความหนืดมีค่ามากกว่าความด้านทานเชิงคลื่น (Wave-making resistance) ต่อมาก Utama และ Molland [4] พบว่าอิทธิพลของการแทรกสอดของคลื่นระหว่างดัวเรือคู่มีผลต่อความด้านทานความหนืดเพียงเล็กน้อย

นอกจากจากการวิธีทดลองชั้นต้นแล้ว การคำนวนทางพลศาสตร์ของไอล (Computational Fluid Dynamics หรือ CFD) ก็เป็นอิทธิหินที่นิยมนำมาใช้จำลองการไอลผ่านเรือ เนื่องจากมีค่าใช้จ่ายและใช้เวลาอ่อนอย ประกอบกับความก้าวหน้าทางเทคโนโลยีคอมพิวเตอร์ทำให้การคำนวนและการแสดงผล มีประสิทธิภาพมากขึ้น อาทิเช่น Armstrong [5] ได้ใช้วิธี CFD แบบปริมาตรจำกัด (Finite Volume Method หรือ FVM) จำลองการไอลผ่านเรือแบบดัวเรือคู่ ประเกทความเร็วสูง พบว่าการกระจายของความดันรอบดัวเรือ สอดคล้องกับผลการทดลอง ขณะที่ Thornhill และคณะ [6] ได้ใช้วิธี FVM วิเคราะห์ความด้านทานของเรือประเกท Planing craft ซึ่งพบว่า เมื่อวิเคราะห์จะเป็นการคำนวนในสภาวะคงดัว(Steady flow) แต่เพื่อให้ได้ผลสอดคล้องกับความเป็นจริงจำเป็นจะต้องใช้วิธีคำนวนแบบแปรผันตามเวลา(Transient) ทั้งนี้งานวิจัยทั้งสองเป็นการจำลองการไอลแบบบันปวนโดยไม่รวมการเปลี่ยนแปลงที่ผิวน้ำ สำหรับการวิเคราะห์รูปแบบคลื่นด้วยวิธี CFD นั้น ได้มีงานวิจัยที่นำแบบจำลองปริมาตรของไอล (Volume Of Fluid หรือ VOF) มาใช้คิดคำการเปลี่ยนแปลงที่ผิวน้ำ เช่น การศึกษาการไอลแบบไม่มีความหนืดรอบดัวเรือสินค้าในเขตน้ำลึกของ Tabaczek [7]

จากที่กล่าวมาข้างต้น งานวิจัยนี้จึงได้นำวิธีการคำนวนทางพลศาสตร์ของไอลแบบปริมาตรจำกัด ที่พิจารณาการไอลแบบมีความหนืดประกอบกับวิธีการเปลี่ยนแปลงที่ผิวน้ำ มาวิเคราะห์ความด้านทานและรูปแบบคลื่นที่เกิดจากเรือแบบดัวเรือคู่ เพื่อเป็นแนวทางในการออกแบบเบื้องต้น (Preliminary design) สำหรับเรือโดยสารแบบดัวเรือคู่ที่เหมาะสมสำหรับการใช้งานในแม่น้ำ ด้วยเงื่อนไขของความเร็วสูงสุดไม่เกิน 20 กิโลเมตร/ชั่วโมง ที่ความลึกต่ำสุดและสูงสุดเท่ากับ 6.5 เมตร และ 8.5 เมตร ตามลำดับ

2. ทฤษฎีที่เกี่ยวข้อง

2.1 ความด้านทานเรือ

ความด้านทานรวมของเรือ (Total ship resistance หรือ R_T) สามารถคำนวนได้จาก

$$R_T = \frac{1}{2} \rho A V^2 C_T \quad (1)$$

โดยที่ C_T คือค่าสัมประสิทธิ์ความด้านทานเรือรวม (Total ship resistance coefficient) ในทางปฏิบัติจากที่ประชุม International Towing Tank Conference [8] สามารถแบ่งออกเป็นค่าประกอบหลักของ C_T ออกเป็น

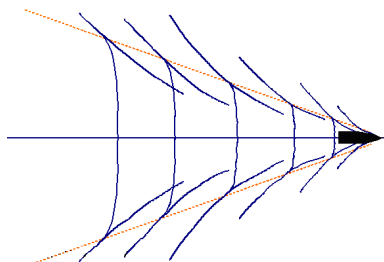
$$C_T = C_V + C_W \quad (2)$$

โดยที่ C_V คือค่าสัมประสิทธิ์ความด้านทานความหนืด (Viscous resistance coefficient) และ C_W คือค่าสัมประสิทธิ์ความด้านทานเชิงคลื่น (Wave-making resistance coefficient) ทั้งนี้ความด้านทานเชิงคลื่นมีค่าขึ้นอยู่กับเลขฟรุต (Froude number หรือ Fn) ซึ่งหาได้จาก

$$Fn = \frac{V}{\sqrt{gL}} \quad (3)$$

2.2 ระบบคลื่นที่เกิดจากเรือแล่นในน้ำลึก

ทฤษฎีเคลวิน (Kelvin Theory) [9] ระบุว่าเมื่อเรือแล่นในน้ำลึก ระบบคลื่นบนพื้นน้ำจะประกอบด้วยคลื่นอุ่นออก (Divergent waves) และคลื่นทางขวาง (Transverse waves) ดังรูปที่ 2



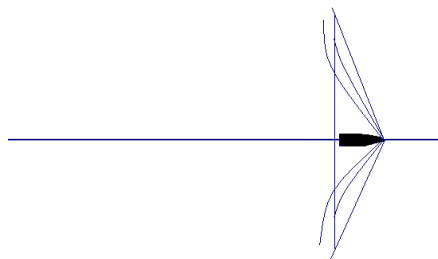
รูปที่ 2 รูปแบบคลื่นตามทฤษฎีเคลวิน [9]

2.3 ระบบคลื่นที่เกิดจากเรือแล่นในน้ำตื้น

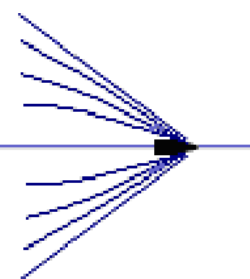
ทฤษฎีไฮเฟล็อก (Havelock Theory) [9] ระบุว่าเมื่อเรือแล่นในน้ำตื้น คลื่นที่เกิดจากตัวเรือจะมีรูปแบบ ขึ้นอยู่กับเลขฟรุตเชิงความลึก (Fn_h) ซึ่งคำนวณได้จาก

$$Fn_h = \frac{V}{\sqrt{gh}} \quad (4)$$

โดยที่ h เป็นความลึกของน้ำ และความเร็วที่ทำให้ $V = \sqrt{gh}$ เรียกว่าความเร็วิกฤต (Critical velocity) โดยที่ความเร็วได้วิกฤตคลื่น จะมีรูปแบบคลื่นตามทฤษฎีเคลวิน ขณะที่ความเร็วิกฤตและเหนือ วิกฤต ระบบคลื่นจะมีรูปแบบแตกต่างจากระบบคลื่นตามทฤษฎีเคลวิน ดังรูปที่ 3



(g) ความเร็วิกฤต



(h) ความเร็วเหนือวิกฤต

รูปที่ 3 รูปแบบคลื่นตามทฤษฎีไฮเฟล็อก [9]

3. วิธีดำเนินการวิจัย

เนื่องจากการหาความด้านทานของเรือและรูปแบบคลื่นที่เกิดจากเรือโดยปกติใช้วิธีการทดลองทาง實驗แบบตัวเรือคู่ผ่านน้ำนิ่งในถังกลางเรือ ในงานวิจัยนี้ใช้สร้างแบบจำลอง 3 มิติ เพื่อจำลองการไฟrobตัวเรือแบบ 2 เฟส ด้วยวิธีการคำนวณทางพลศาสตร์ของไอลโดยกำหนดให้น้ำและอากาศไอลผ่านเรือซึ่งอยู่กันที่และไม่มีการเคลื่อนที่ในแนวลึก

3.1 ระเบียบวิธีการคำนวณเชิงตัวเลข

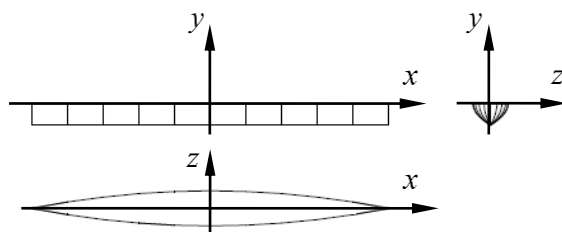
วิธีการคำนวณเชิงตัวเลขแบบปริมาตรจักรัด ที่ใช้ในงานวิจัยนี้ เริ่มด้วยการแบ่งโภคmenของแบบจำลองออกเป็นปริมาตรควบคุม (Control volume) หรือเซลล์ (Cell) ย่อย ๆ จากนั้นทำการตีสคริปชัน (Discretization) สมการบังคับการไอล (Governing equations) โดยใช้แบบจำลองการไอลแบบบั่นป่วน (Turbulence model) แบบ $k - \epsilon$ มาตรฐาน สำหรับการไอลที่มีความหนืด ร่วมกับแบบจำลองปริมาตรของไอล (Volume Of Fluid หรือ VOF) แบบ Implicit scheme สำหรับการเปลี่ยนแปลงที่ผิวน้ำและสมบัติการไอลอื่น ๆ ของแต่ละปริมาตรควบคุม สุดท้ายทำการหาผลเฉลยแบบแยกพิจารณา (Segregated solution method) [10]

3.2 แบบจำลอง

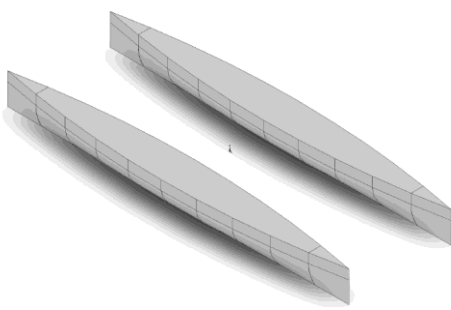
แบบจำลองประกอบด้วยแบบจำลองเรือแบบตัวเรือคู่ในถังกลางเรือ โดยรูปทรงตัวเรือได้แก่น้ำหนักของแบบจำลองตัวเรือคู่ที่ใช้ในงานวิจัยมีรูปทรงแบบวิกเลียร์ (Wigley hull) ดังรูปที่ 4 ซึ่งเป็นรูปทรงแบบ Parabolic ที่มีความสามารถในการลดแรงต้านต่อตัวเรือเพื่อลดปัญหาความแตกต่างของความดันที่หัวเรือและท้ายเรือซึ่งเกิดกับรูปทรงเรือจริงที่มีท้ายตัด ทั้งนี้ตัวเรือแบบวิกเลียร์มีมิติและรูปทรงเป็นไปดังสมการดังไปนี้

$$z = \pm \frac{1}{2} \frac{B}{L} (1 - 4x^2) + \left(1 - \frac{y^2}{(T/L)^2} \right) \quad (5)$$

โดยที่ $L = 1.8$ เมตร, $B = 0.18$ เมตร, $T = 0.1125$ เมตร $D = 0.225$ เมตร และกำหนดให้ระยะห่างระหว่างตัวเรือคู่ (S) เท่ากับ 0.54 เมตร เนื่องจากระยะห่างดังกล่าวมีความท้านทานเรือน้อยขณะที่มีความเหมาะสมในเชิงความแข็งแรงของโครงสร้างคาดท้าเรือระหว่างตัวเรือคู่ [11] ดังรูปที่ 5



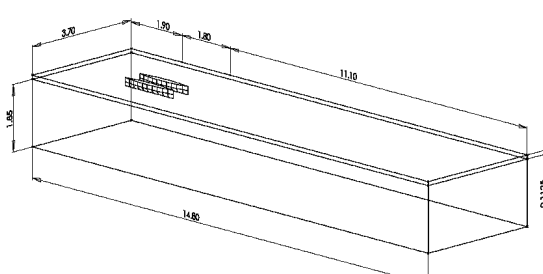
รูปที่ 4 ตัวเรือแบบวิกเลียร์



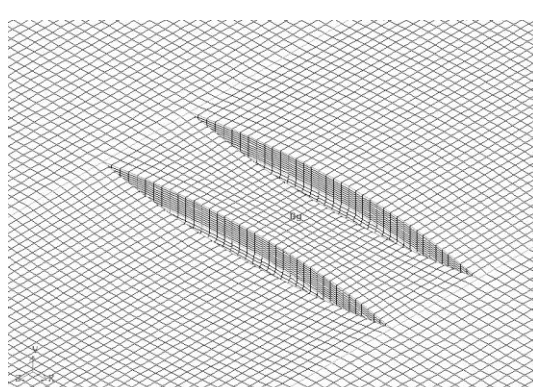
รูปที่ 5 แบบจำลองตัวเรือคู่

แบบจำลองถังลากเรือมีขนาดและรูปทรงสอดคล้องกับงานวิจัยของ Insel และ Molland [2] โดยเป็นแบบจำลองพื้นที่ของตัวเรือคู่ซึ่งรวมทั้งตัวเรือหนึ่งและได้แนวโน้ม แต่ไม่รวมโครงสร้างคาดฟ้าเรือและเกียงเรือ (Superstructure) เพื่อประโยชน์ในการตรวจสอบโปรแกรม ยกเว้น ส่วนบรรยายกาศและความพยายามของถังน้ำองจากข้อจำกัดด้านการแบ่ง กวิจของโภคmen โดยมีขนาดเป็นดังรูปที่ 6

การแบ่งกริดสำหรับงานวิจัยนี้ใช้รูปทรงหกเหลี่ยม (Hexahedron) เชิงโครงสร้างปกติ (Structured grid) แบบ Map scheme เพื่อหลีกเลี่ยงการแบ่งกริดคร่อมแนวโน้มซึ่งจะทำให้เกิดความผิดพลาด ในการคำนวณค่าปริมาณของสัดส่วนปริมาตร (Volume fraction) ในแบบจำลอง VOF โดยปริมาตรควบคุมมีความละเอียดมากที่สุดบริเวณ ผิwtัวเรือและผิวน้ำ จากนั้นการแบ่งกริดจะขยายขึ้นเมื่อห่างออกไป ดังรูปที่ 7 โดยมีจำนวนปริมาตรควบคุมทั้งสิ้น 588,000 เขลล์



รูปที่ 6 โภคmenแบบจำลอง (หน่วยเป็นเมตร)



รูปที่ 7 การแบ่งกริด

3.3 สมการพื้นฐาน

กำหนดให้การไหลรอบตัวเรือเป็นการไหลแบบอัดตัวไม่ได้ ที่ไม่มีการเปลี่ยนแปลงของอุณหภูมิ และมีสมบัติการไหลเท่ากันทุกทิศทาง ด้วยวิธีการ Reynolds Average สำหรับการไหลแบบบันทุ่น กำหนดให้คุณสมบัติการไหล ณ เวลาใด ๆ (ϕ) ประกอบด้วย ส่วนค่าเฉลี่ย (Φ) และส่วนความบันทุ่น (ϕ') ดังสมการ

$$\phi = \Phi + \phi' \quad (6)$$

กำหนดให้ \mathbf{u} เป็นเวกเตอร์ความเร็วที่ไหลในพิกัด笛卡尔 ($\mathbf{u} = u\hat{i} + v\hat{j} + w\hat{k}$) โดยที่ $\mathbf{u} = \mathbf{U} + \mathbf{u}'$ สมการควบคุมการไหลสำหรับงานวิจัยนี้ประกอบด้วย

สมการความต่อเนื่อง (Continuity equation)

$$\nabla \cdot \mathbf{U} = 0 \quad (7)$$

สมการ Reynolds-Averaged Navier-Stokes equation (RANS) + Eddy viscosity hypothesis

$$\frac{\partial}{\partial t}(\mathbf{U}) + \nabla \cdot (\mathbf{U}\mathbf{U}) = -\frac{1}{\rho} \nabla P + \nabla \cdot [(\mu + \mu_t)(\nabla \cdot \mathbf{U})] + \mathbf{S}_m \quad (8)$$

โดยที่ $\mu_t = C_\mu \frac{k^2}{\varepsilon}$ และ \mathbf{S}_m คือ source term

สมการ $k - \varepsilon$ สำหรับการจำลองการไหลแบบบันทุ่น (เพื่อ μ_t)

$$\frac{\partial}{\partial t}(\rho k) + \nabla \cdot (\rho k \mathbf{U}) = \nabla \cdot \left[\frac{\mu_t}{\sigma_k} \nabla k \right] + 2\mu_t E_{ij} E_{ij} - \rho \varepsilon \quad (9)$$

$$\frac{\partial}{\partial t}(\rho \varepsilon) + \nabla \cdot (\rho \varepsilon \mathbf{U}) = \nabla \cdot \left[\frac{\mu_t}{\sigma_\varepsilon} \nabla \varepsilon \right] + C_{1\varepsilon} \frac{\varepsilon}{k} 2\mu_t E_{ij} E_{ij} - C_{2\varepsilon} \rho \frac{\varepsilon^2}{k} \quad (10)$$

ค่าคงที่

$$C_\mu = 0.09, \quad \sigma_k = 1.00, \quad \sigma_\varepsilon = 1.00, \quad C_{1\varepsilon} = 1.44 \\ \text{และ } C_{2\varepsilon} = 1.92 \quad [10]$$

3.4 แบบจำลองปริมาตรของไหล VOF

เมื่อกำหนดให้อากาศเป็นเฟสปฏิสนธิ (Primary phase) และน้ำเป็นเฟสทุติยภูมิ (Secondary phase) เราสามารถคำนวณสัดส่วนปริมาตรของน้ำ (α_{water}) และอากาศ (α_{air}) ในปริมาตรควบคุมได้ จากการ ต่อไปนี้

$$\frac{\partial \alpha_{water}}{\partial t} + \mathbf{u} \cdot \nabla \alpha_{water} = 0 \quad (11)$$

เมื่อ

$$\alpha_{water} + \alpha_{air} = 1 \quad (12)$$

คุณสมบัติของการไหลใดๆ ของน้ำ (ϕ_{water}) และอากาศ (ϕ_{air}) ตลอดจนตัวแปรต่างๆ ในการทำผลเฉลยสมการ (7) และ (8) ค่านวนที่ได้จากสมการ

$$\phi = \alpha_{water} \phi_{water} + (1 - \alpha_{water}) \phi_{air} \quad (13)$$

3.5 เงื่อนไขขอน

แบบจำลองมีเงื่อนไขขอนเป็นไปดังรูปที่ 8 โดยให้อากาศและน้ำไหลเข้าด้วยความเร็วคงที่เทียบเท่ากับความเร็วของเรือที่เคลื่อนที่บนพื้นของถังและพื้นเคลื่อนที่ตามความเร็วของเรือ แต่พื้นของแบบจำลองเรือเป็นแบบ Non-slip บริเวณผิวน้ำใช้แบบจำลอง VOF เงื่อนไขบรรยายอากาศให้มีความดันเจกเป็นศูนย์ บริเวณทางออกกำหนดให้มีระยะห่างจากด้านเรือเพียงพอที่จะกำหนดให้เป็นการไหลพัฒนาอย่างสมบูรณ์

3.6 เงื่อนไขการคำนวณเชิงตัวเลข

- ผลเฉลยใช้วิธีการแบบ SIMPLE [11] ในการตรวจสอบความดัน-ความเร็ว

- คำนวนแบบสภาวะคงตัว (Steady state calculation) ที่ Convergent criteria ของ Residual = 10^{-4} จากนั้นคำนวนแบบแปรผันตามเวลา (Transient calculation) [11] ที่ Time step เท่ากับ 0.1 วินาที เป็นเวลาไม่น้อยกว่า $3L/V$ วินาที

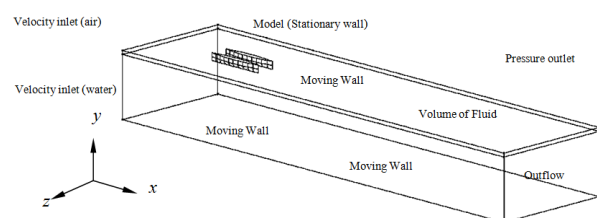
- สมการโโนเมนตัม, แบบจำลอง $k-\varepsilon$ และ α_{water} ใช้วิธีประมาณค่า QUICK [11]

4. ผลการวิจัยและวิเคราะห์ผลการวิจัย

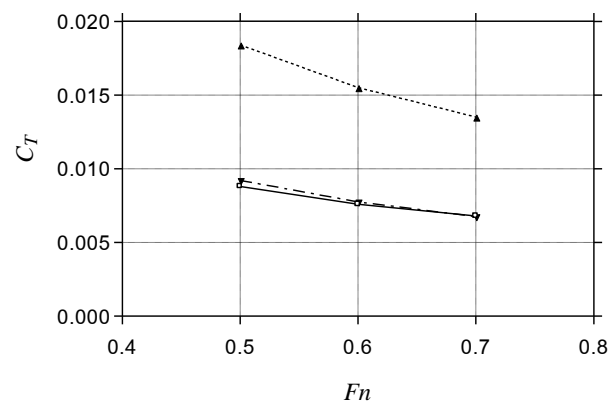
4.1 สัมประสิทธิ์ความด้านท่านรวมของเรือ

เมื่อพิจารณาความเร็ว 20 กิโลเมตร/ชั่วโมง พบร่วมกันความเร็วตั้งกล่าวขัดเป็นร่ายความเร็วสูง ดังนั้นจึงทำการวิเคราะห์ความด้านท่านของเรือในรูปของ C_T ที่ความเร็วเทียบเท่ากับ $Fn = 0.5 - 0.7$ โดยผลการคำนวน C_T จากแบบจำลองเป็นไปดังรูปที่ 9 ซึ่งพบว่าที่ $Fn = 0.5 - 0.7$ เมื่อ Fn เพิ่มขึ้น C_T ที่คำนวนได้จากแบบจำลองมีค่าลดลงและเมื่อเปรียบเทียบกับผลการทดลอง [2] พบร่วมกัน C_T จากทั้งสองวิธีดังลงในลักษณะเดียวกันโดยมีอัตราการแปรผันตามการเปลี่ยนแปลงในร่าย Fn ที่ทำการศึกษาพบว่าความคลาดเคลื่อนจากการคำนวนด้วยแบบจำลองในงานวิจัยนี้มีค่าคงที่ประมาณ 0.5 เท่าของผลการทดลอง นอกจากนี้ C_T ที่ $Fn = 0.6 - 0.7$ มีค่าแตกต่างกันเพียงเล็กน้อย แสดงให้เห็นว่าเรือแบบตัวเรือคู่มีความเหมะสมในการนำมาใช้งานเป็นเรือโดยสารความเร็วสูงเนื่องจากที่ความเร็วสูงๆ เรือจะมีค่า C_T ลดลงและเมื่อความเร็วเพิ่มขึ้น C_T มีค่าเปลี่ยนแปลงเพียงเล็กน้อย

สำหรับค่าที่แตกต่างกันนี้น่าจะเป็นผลมาจากการแบ่งกริดบริเวณใกล้แนวน้ำสำหรับงานวิจัยนี้มีความละเอียดไม่เพียงพอเนื่องจากแบบจำลอง Implicit VOF จะให้ปริมาตรควบคุมมีค่าปริมาตรตัดส่วนของน้ำเป็น 1 หรือ 0 เท่านั้น ตลอดจนแบบจำลองการไหลปั่นป่วน $k-\varepsilon$ แบบมาตรฐานใช้ Wall function ในการทำผลเฉลยบริเวณใกล้ด้านเรือซึ่งอาจทำให้เกิดการประมวลผลค่าเกินความจริงได้



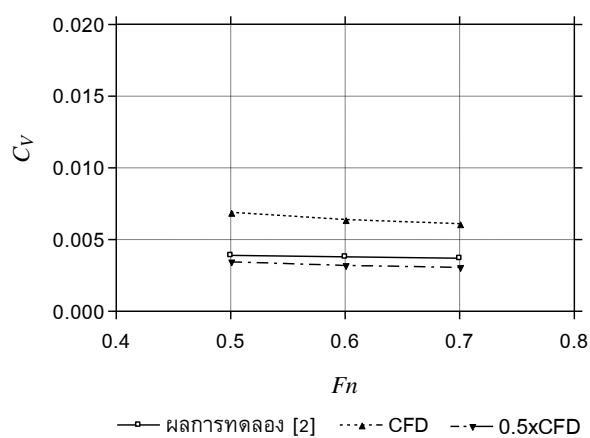
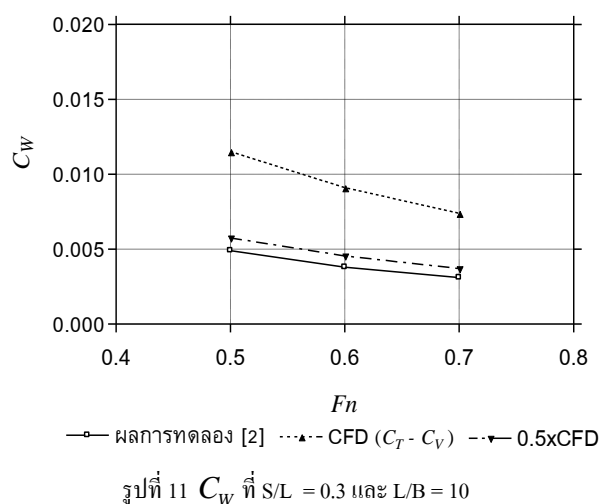
รูปที่ 8 แบบจำลองการไหล 2 เฟส



รูปที่ 9 C_T ที่ $S/L = 0.3$ และ $L/B = 10$

4.2 สัมประสิทธิ์ความด้านท่านความหนืดและสัมประสิทธิ์ความด้านท่านเชิงคลื่น

จากการจำลองการไหล เราสามารถหาค่า C_V ได้โดยการคำนวนแรงลักษณ์ที่เกิดจากค่าความดันในแนวตั้งจากพื้นผิว (Normal pressure) และในแนวสัมผัสกับพื้นผิว (Tangential pressure) จากนั้นก็สามารถคำนวนหา C_W ได้จากสมการที่ (2) โดยมีผลการคำนวนเป็นไปดังรูปที่ 10 และ 11 ตามลำดับ จากรูปที่ 10 ที่ $Fn = 0.5 - 0.7$ พบร่วมกับ C_V มีค่าลดลงเพียงเล็กน้อย เมื่อ Fn เพิ่มขึ้น ลดค่าลดลงกับผลการทดลอง [2] และจากการที่ Fn มีค่าแปรผันตามความเร็ว แสดงว่าที่ความเร็วสูง C_V มีค่าเกือบคงที่และไม่แปรผันตามความเร็ว

รูปที่ 10 C_V ที่ $S/L = 0.3$ และ $L/B = 10$ รูปที่ 11 C_W ที่ $S/L = 0.3$ และ $L/B = 10$

ขลุ่ยที่จากรูปที่ 11 จะเห็นว่า C_W มีค่าลดลงอย่างต่อเนื่อง เมื่อ Fn เพิ่มขึ้น แสดงว่าที่ความเร็วสูง C_W แปรผันตามความเร็วโดยยกล่าวคือ เมื่อความเร็วเพิ่มขึ้น C_W จะลดลง โดยเมื่อพิจารณาความคลาดเคลื่อนจากการคำนวณด้วยแบบจำลองในผลการทดลองในรูปที่ 10 และ 11 พบว่าเป็นค่าคงที่ประมาณ 0.5 เท่าของผลการทดลองเช่นเดียวกับผลที่ได้ในข้อ 4.1 จากผลการวิเคราะห์แสดงให้เห็นว่าที่ยานความเร็วสูงนี้ ความด้านท่านเชิงคลื่นมีอิทธิพลต่อความด้านท่านรวมของเรือมากกว่า ความด้านท่านความหนืด ดังนั้นการลดการเกิดคลื่นจะทำให้ความด้านท่านรวมของเรือลดลงตามไปด้วย

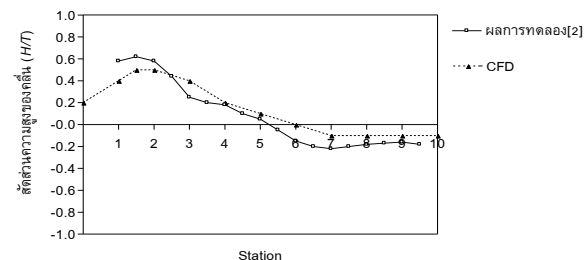
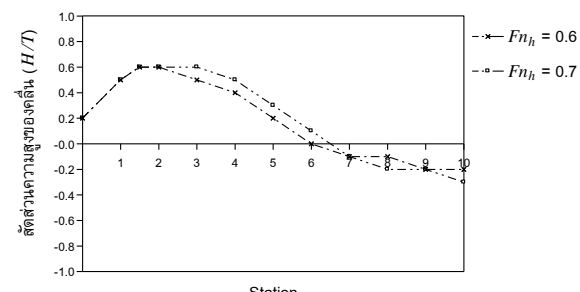
4.3 รูปแบบคลื่นที่เกิดจากเรือ

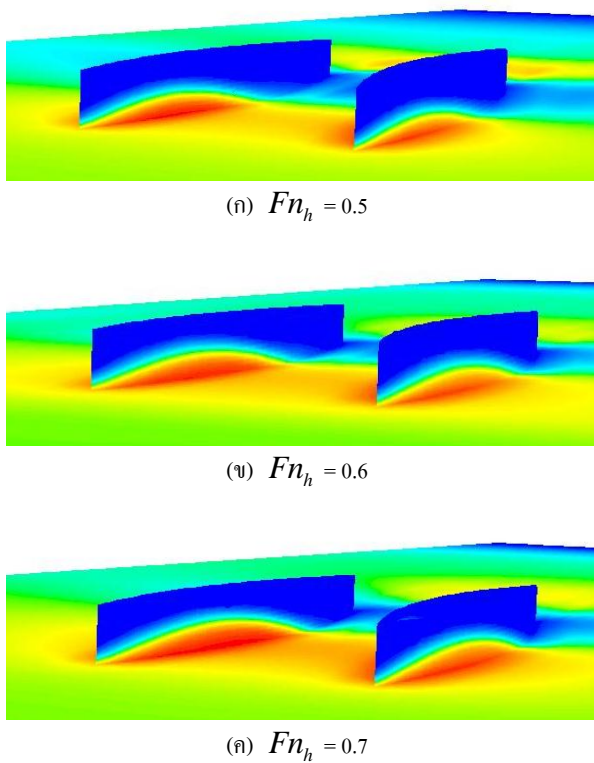
การจำลองการเกิดคลื่นแบบเป็น 2 กรณี ได้แก่กรณีที่ $Fn = 0.5$ เพื่อเป็นการตรวจสอบโปรแกรม และกรณีที่ $Fn_h = 0.6 - 0.7$ ซึ่งเทียบเท่าการเดินเรือโดยสารในแม่น้ำที่ความเร็วสูงสุด 20 กิโลเมตร/ชั่วโมง ในเส้นทางที่มีความลึกระหว่าง 6.5 – 8.5 เมตร ซึ่งจัดเป็นเขตน้ำตื้น [13] ผลการจำลองรูปแบบคลื่นตามตัวเรือคู่ด้านนอกตามตำแหน่งทางยาวของเรือ (Station) ที่ $Fn = 0.5$ เปรียบเทียบกับผลการทดลอง [2] เป็นดังรูปที่ 12 ทั้งนี้ความสูงของคลื่นในอุบัติเหตุใน

รูปของอัตราส่วนระหว่างความสูงของคลื่นต่อระดับน้ำลึก (H/T) ซึ่งความสูงของคลื่นนี้คำนวณได้จาก α_{water} ในแต่ละปริมาตรควบคุม โดยการวัดความสูงของคลื่นในแต่ละ Station ซึ่งในการวิจัยนี้ใช้การคำนวณความสูงของคลื่นที่ $\alpha_{water} = 0$

จากรูปที่ 12 เมื่อแบ่งตัวเรือตามความยาวออกเป็น Station จำนวน 10 Station โดยมีระยะห่างเท่า ๆ กันเท่ากับ $L/10$ หรือ 0.18 เมตร พบว่ารูปแบบคลื่นจากแบบจำลองมีลักษณะสอดคล้องกับผลการทดลอง ก่าวคือเมื่อเรือแล่นผ่านด้านหน้า น้ำจะถูกยกด้วยสูงขึ้นจากระดับแนวน้ำ ($H/T = 0$) จนเกิดสันคลื่นที่ประมาณ Station 2 หรือ $2L/10$ จากนั้นคลื่นจะลดต่ำลงและเกิดท้องคลื่นเมื่อผ่านท้ายเรือ ทั้งนี้คลื่นจากแบบจำลองมีความสูงและความลึกน้อยกว่าผลการทดลอง ทั้งนี้อาจจะเป็นผลมาจากการใช้ค่าเฉลี่ยของการไหลในแบบจำลองการไหลแบบบีบปูน $k - \varepsilon$ แบบมาตรฐาน ทำให้รูปแบบคลื่นมีแนวโน้มจะเข้าหาระดับแนวน้ำ

นอกจากนี้เนื่องจากแบบจำลอง VOF แบบ Implicit scheme ได้กำหนดให้แต่ละเซลล์มีค่า α_{water} หรือ $\alpha_{air} = 1$ จากนั้นทำการประมาณค่าในช่วง และทำการเก็บเป็นค่าไว้ที่ Node สำหรับการคำนวณ ทำให้การแบ่งกริดที่บริเวณผิวน้ำจำเป็นต้องมีความละเอียดที่เหมาะสมสำหรับการเปลี่ยนแปลงของคลื่นนี้ได้ ทั้งนี้ความสูงของสันคลื่นที่หัวเรือและท้องคลื่นที่ท้ายเรือมีขนาดน้อยกว่าผลการทดลองประมาณ 15% รูปแบบคลื่นที่หัวเรือด้านนอกสำหรับกรณีที่ $Fn_h = 0.6 - 0.7$ ในรูปของสัดส่วน H/T เมื่อแบ่งตัวเรือตามความยาวออกเป็น 10 Stations ดังรูปที่ 12 พบว่ามีผลเป็นดังรูปที่ 13

รูปที่ 12 รูปแบบคลื่นตามตัวเรือคู่ด้านนอกที่ $Fn = 0.5$
($S/L = 0.3$ และ $L/B = 10$)รูปที่ 13 รูปแบบคลื่นตามตัวเรือคู่ด้านนอกที่ $Fn = 0.6 - 0.7$
($S/L = 0.3$ และ $L/B = 10$)



จากรูปที่ 13 พบร่างคันที่ $Fn_h = 0.7$ มีค่า H/T โดยน้อยกว่าที่ $Fn_h = 0.6$ นอกจานี้ยังพบว่าพบร่างคันที่เกิดจากแบบจำลองทั้งสองมีลักษณะการเกิดคลื่นตามตัวเรือด้านนอกลักษณะกัน แต่ที่ดำเนินการ Station เดียวกัน คันที่ $Fn_h = 0.7$ มีความสูงมากกว่าคันที่ $Fn_h = 0.6$ นอกจานี้มีอิทธิพลจากจุดที่คลื่นตัดกับระดับผิวน้ำ ($h = 0$) พบร่างคันที่ $Fn_h = 0.7$ เดินทางได้ไกลกว่าร่างคันที่ $Fn_h = 0.6$ ดังนั้นจะเห็นได้ว่าเมื่อพิจารณาในแง่ความลึกของเดินทางเรือ พบร่างคันที่มีผลต่อความสูงของร่างคันที่เกิดจากการเรือแบบตัวเรือคู่ โดยเมื่อเรือแล่นในน้ำดีนจะมีคลื่นที่สูงกว่า ทั้งนี้รูปแบบคันที่ Fn_h ทั้งสามค่าข้างต้นสามารถแสดงได้ดังรูปที่ 14

5. สรุปผล

- ที่ย่านความเร็วสูงที่ $Fn = 0.5 - 0.7$ ค่า C_T ของเรือแบบตัวเรือคู่ที่ได้จากแบบจำลอง CFD ในงานวิจัยนี้มีค่าลดลงเมื่อความเร็วเพิ่มขึ้น เนื่องจากองค์ประกอบความด้านทาน C_W มีค่าลดลง ในขณะที่ C_V ซึ่งเป็นผลลัพธ์ของแรงเรือนอกจากความหนาดของช่องไหหลังแนวตั้งจากและแนวสัมผัสกับผิวตัวเรือมีค่าเก็บคงที่ ดังนั้นแบบจำลอง CFD ที่ใช้ในการวิจัยนี้จึงสามารถนำมาใช้ศึกษารูปแบบของตัวเรือคู่ที่ทำให้ค่า C_W ลดลง ซึ่งจะส่งผลให้ C_T ลดลงตามไปด้วย โดยค่าที่คำนวณได้มีความคาดเคลื่อนที่คงที่ประมาณ 0.5 เท่า

- ที่ย่านความลึกเมื่อเรือโดยสารแบบตัวเรือคู่แล่นตัวเรียร์สูงสุดตามกฎหมายที่ $Fn_h = 0.6 - 0.7$ พบร่างเดินทางเรือในแม่น้ำซึ่งจัดเป็นเขตน้ำดีน ดังนั้นความลึกจึงมีผลต่อความสูง

ของคลื่นซึ่งจากแบบจำลอง CFD ที่ใช้ในงานวิจัยนี้แสดงให้เห็นว่าโดยเมื่อเรือแบบตัวเรือคู่แล่นในน้ำดีนจะมีคลื่นที่สูงกว่าเมื่อแล่นในน้ำลึก

- แบบจำลอง CFD ที่ประยุกต์ใช้ในงานวิจัยนี้แสดงให้เห็นว่ามีความเหมาะสมในการนำไปใช้เคราะห์ความด้านทานและรูปแบบคันที่เกิดจากเรือแบบตัวเรือคู่ที่ใช้งานจริงในย่านความเร็วสูงได้

- เพื่อให้ผลที่ได้จากแบบจำลองในงานวิจัยนี้ได้ผลที่แม่นยำมากขึ้น ควรจะได้มีการศึกษาวิจัยในด้านการแบ่งกริดที่เหมาะสมตลอดจนการประยุกต์ใช้แบบจำลองทางคณิตศาสตร์ที่สูงขึ้นเพื่อให้ได้ผลใกล้เคียงกับความเป็นจริงมากที่สุด

6. กิตติกรรมประกาศ

คณะผู้วิจัยขอขอบคุณ กองวิชาชีวกรรมเครื่องกล ส่วนการศึกษา โรงเรียนนายร้อยพระจุลจอมเกล้า ใน การสนับสนุน โปรแกรม CFD-ACE + สำหรับการสนับสนุนในการทำวิจัยนี้ จนสำเร็จลุล่วงเป็นอย่างดี

7. สัญลักษณ์

A เป็น พื้นที่ผิวของตัวเรือใต้แนวน้ำ

B เป็น ความกว้างสุดที่กลางลำของตัวเรือ

C_L เป็น เส้นกึ่งกลางเรือ

C_T เป็น สมประสิทธิ์ความด้านทานรวม

C_V เป็น สมประสิทธิ์ความด้านทานความหนืด

C_W เป็น สมประสิทธิ์ความด้านทานเชิงคลื่น

D เป็น ความสูงของเรือตั้งจากท้องเรือ

Fn เป็น เลขฟรูดเชิงความยาวแนวน้ำ

Fn_h เป็น เลขฟรูดเชิงความลึกของน้ำ

H เป็น ความสูงของคลื่น

h เป็น ความลึกของน้ำ

L เป็น ความยาวแนวน้ำ

R_T เป็น ความด้านทานรวมของเรือ

S เป็น ระยะห่างระหว่างตัวเรือคู่

T เป็น ระยะกินน้ำลึก

V เป็น ความเร็วของเรือในกิจทางการเดินท่องเที่ยว

ρ เป็น ความหนาแน่นของน้ำ

8. เอกสารอ้างอิง

[1] ศัตยา จันทรประภา. 2550. เรือโดยสารลดคลื่นเพื่อการประหยัดพลังงาน (Low wash waterbus). วารสารกรมอุทยานแห่งชาติ ฉบับพิเศษ มกราคม 2550, : 83 - 90.

[2] Insel, M., Molland, A.F., 1991. An Investigation into the Resistance Components of High Speed Displacement Catamarans. In: Proceeding of Meeting of the Royal Institution of Naval Architects, London.

- [3] Couser, P.R., et al., 1997. Calm Water Powering Predictions for High-speed Catamarans. *Fast*, Vol. 97.
- [4] Utama, I.K.A.P., Molland, A.F., 2001. Experimental and Numerical Investigations into Catamaran Viscous Resistance. In: *Proceedings of the Sixth International Conference on Fast Sea Transportation*. Southampton University, England, pp. 295-306.
- [5] Armstrong, N., 1995. An Investigation into the Form Factor of High Speed Light Craft. In: *Proceedings of the First AMECRC Postgraduate Student Conference*, Australia.
- [6] Thornhill, E., et al. 2003. Planing Hull Performance Evaluation Using a General Purpose CFD Code. In: *Proceedings of 24th Symposium on Naval Hydrodynamics*.
- [7] Tabaczek, T., 2008. Computation of Flow around Inland Waterway Vessel in Shallow Water. *Archives of Civil and Mechanical Engineering*, Vol. VIII, pp. 97 – 105.
- [8] International Towing Tank Conference. 1957. Skin Friction and Turbulence Simulation. In: *Proceedings of the 8th ITTC*, Madrid, Spain. Canal de Experiencias Hidrodinamics, El Pardo, Madrid, Spain.
- [9] Van Manen, J.D., Van Oossanen, P., 1988. Chapter V Resistance. *Principles of Naval Architecture*, Vol. III, Lewis, EV, editor. 1st printing, The Society of Naval Architects and Marine Engineers, USA, pp. 1 – 125.
- [10] Versteeg, H.K., Malalasekera, W. 1995. *An Introduction to Computational Fluid Dynamics: The Finite Volume Method*. 1st edition. Longman Group Ltd, England.
- [11] กิตติภูมิ ภูมิโภครักษ์ และคณะ. 2553. การศึกษาผลกระบวนการของระบบห่ำงและความเพรียบของเรือแบบด้าเรือคู่ต่อความด้านท่านเรือ ด้วยวิธีคำนวนทางพลศาสตร์ของไหเด. การประชุมสัมมนาทางวิชาการ มหาวิทยาลัยเทคโนโลยีราชมงคลภาคตะวันออก ครั้งที่ 3. พัทยา จ.ชลบุรี.
- [12] Patankar, S. 1980. *Numerical Heat Transfer and Fluid Flow*. 1st edition, Hemisphere, Washington D.C., USA.
- [13] Leer-Anderson, M., et al., 2000. Wash Waves – Problems and Solutions, In: *Proceedings of the Society of Naval Architects and Marine Engineers Annual Meeting*.